

数理方法复习笔记

Siyan Dong

第1章 复变函数基础

1.1 可导性

若 Δz 以任意方式趋于 0 时, $\lim_{\Delta z \rightarrow 0} \frac{f(a+\Delta z)-f(a)}{\Delta z}$ 恒为一常数, 则称 $f(z)$ 在 a 点可导。

1.2 解析函数

若 $f(z)$ 在区域 G 内处处可导, 则称 $f(z)$ 是 G 内的解析函数。解析函数无穷阶可导

1.2.1 Cauchy-Riemann 条件

$$\begin{cases} \frac{\partial u}{\partial x} = \frac{\partial v}{\partial y} \\ \frac{\partial u}{\partial y} = -\frac{\partial v}{\partial x} \end{cases} \quad \text{其中 } f(z) = f(x+iy) = u(x,y) + iv(x,y). \quad (1.1)$$

$$f(z) \text{ 可导 (解析)} \iff \begin{cases} \text{Cauchy-Riemann 条件} \\ \frac{\partial u}{\partial x}, \frac{\partial u}{\partial y}, \frac{\partial v}{\partial x}, \frac{\partial v}{\partial y} \text{ 均连续} \end{cases} \quad (1.2)$$

调和函数满足二维 Laplace 方程:

$$f(z) \text{ 可导 (解析)} \implies \begin{cases} \nabla^2 u = \left(\frac{\partial^2}{\partial x^2} + \frac{\partial^2}{\partial y^2} \right) u = 0 \\ \nabla^2 v = \left(\frac{\partial^2}{\partial x^2} + \frac{\partial^2}{\partial y^2} \right) v = 0 \end{cases} \quad (1.3)$$

1.2.2 奇点

定义: $f(z)$ 在 z_0 处无定义, 或有定义但不可导, 或可导但不解析 (奇——性质)

- 可去奇点: 函数在该点的邻域内有界。通过重新定义函数在该点的值, 可以使函数在该点解析。例如, 函数 $f(z) = \frac{\sin z}{z}$ 在 $z=0$ 处有一个可去奇点。
- 极点: 函数在奇点附近的行为是无界的, 存在一个正整数 (阶数) n 使得 $(z-z_0)^n f(z)$ 在 z_0 附近有界且非零。
- 本质奇点: 排除上面两种情况的复杂情况, 例如, 函数 $e^{\frac{1}{z}}$ 在 $z=0$ 处有一个本质奇点。

1.3 多值函数

多值性来源: 宗量 ($z-a$) 辐角的多值性; 举例: $\ln(z)z^{\frac{1}{n}}$

1.3.1 分支点

对于函数 $f(z)$, 如果在包围一个点 z_0 的任意小路径上, 函数 $f(z)$ 的值在绕行一圈后发生变化, 那么 z_0 被称为分支点。

如: 对数函数 $\log(z)$ 的分支点在 $z = 0$ 。 $z^{1/n}$ (n 为正整数) 在 $z = 0$ 和无穷远处有分支点。

为了处理分支点, 通常会在复平面上引入分支切割来制造一个多值函数的单值分支。

1.4 例题

例 1 写出以下复数的实部、虚部、模、辐角: $\sqrt[3]{2i}$

解: $(\sqrt[3]{2i})^3 = [e^{\ln 2 + i(\frac{1}{2} + 2n)\pi}]^{-i} = e^{(\frac{1}{2} + 2n)\pi - i \ln 2} = e^{(\frac{1}{2} + 2n)\pi} (\cos \ln 2 - i \sin \ln 2)$

实部: $e^{(\frac{1}{2} + 2n)\pi} \cos \ln 2$, 虚部: $e^{(\frac{1}{2} + 2n)\pi} \sin \ln 2$, 模: $e^{(\frac{1}{2} + 2n)\pi}$, 辐角: $\ln 2 + 2m\pi$ (n, m 均为正整数)

例 2 画出下面表达式所表示的区域 $0 < \arg \frac{z-i}{z-2} < \frac{\pi}{3}$

解: 设 $z = x + iy$, 则 $\frac{z-i}{z-2} = \frac{x+i(y-1)}{x-2+iy} = \frac{x^2+y^2-2x-y+i(2-x-2y)}{(x-2)^2+y^2}$ 原式则等价于 $0 < \frac{2-x-2y}{x^2+y^2-2x-y} < \tan \frac{\pi}{3}$, 因幅角值在 $(0, \frac{\pi}{3})$, 所以该式分子分母同为正. 化简可得约束条件; 图略.

例 3 找出下列多值函数的支点, 并讨论 z 绕一个及多个支点一周后, 函数值的变化

(1) $\sqrt[3]{(z-a)(z-b)}$, (2) $\ln \frac{z-a}{z-b}$.

解: (1) 设 $z-a = r_1 e^{i(\theta_1) + 2k_1\pi}$, $z-b = r_2 e^{i(\theta_2) + 2k_2\pi}$ 则 $w = \sqrt[3]{(z-a)(z-b)} = \sqrt[3]{r_1 r_2} e^{\frac{i}{3}(\theta_1 + \theta_2 + 2k\pi)}$ a, b 点显然为支点, 绕 a, b 支点一周函数值变化 $\sqrt[3]{r_1 r_2} e^{2i\pi/3}$,

下证 ∞ 点处也为支点: 令 $z = \frac{1}{t}$, 则 $w = \sqrt[3]{(z-a)(z-b)} = \sqrt[3]{\frac{(1-at)(1-bt)}{t^2}}$ 因绕 0 点旋转, 因此 $\arg(1-at), \arg(1-bt)$ 均不变, 而 t^2 变化 4π , 因此 w 变化了 $\sqrt[3]{r_1 r_2} e^{4i\pi/3}$, 因此 ∞ 处也为支点

(2) 设 $z-a = r_1 e^{i(\theta_1) + 2k_1\pi}$, $z-b = r_2 e^{i(\theta_2) + 2k_2\pi}$ 则 $w = \ln \frac{z-a}{z-b} = \ln \frac{r_1}{r_2} + i[\theta_1 + \theta_2 + (2k_1 - 2k_2)\pi]$ 因此 a, b 点均为支点, 绕一个点旋转 1 周变化 2π , 绕两个点旋转一周不变考虑 ∞ 点, 令 $z = \frac{1}{t}$ $w = \ln \frac{1-at}{1-bt}$, 当 $t = 0$ 时, $\arg(1-at), \arg(1-bt)$ 均不变, 因此 ∞ 处不是支点

第 2 章 复变积分

2.1 Cauchy 定理

若 $f(z)$ 在闭曲线 C 包围的闭区域解析, 那么 (多连通区域亦可):

$$\oint_{C^+} f(z) dz = 0 \quad (2.1)$$

2.2 Cauchy 积分公式

$f(z)$ 在 \bar{G} 上是单值解析函数, 分段光滑曲线 C 为 \bar{G} 的边界, 则有:

$$f(a) = \frac{1}{2\pi i} \oint_{C^+} \frac{f(z)}{z-a} dz \quad (2.2)$$

推论:

$$f^{(n)}(a) = \frac{n!}{2\pi i} \oint_{C^+} \frac{f(z)}{(z-a)^{n+1}} dz \quad (2.3)$$

2.3 两个有用的引理

2.3.1 小圆弧引理

若 $f(z) \in C(U^\circ(a))$, 并且在 $\theta_1 \leq \arg(z-a) \leq \theta_2$ 中, $(z-a)f(z) \rightarrow k$ ($|z-a| \rightarrow 0$), 则有

$$\lim_{\rho \rightarrow 0} \int_{C_\rho} f(z) dz = ik(\theta_2 - \theta_1) \quad (2.4)$$

2.3.2 大圆弧引理

若 $f(z) \in C(U^\circ(\infty))$, 并且在 $\theta_1 \leq \arg(z-a) \leq \theta_2$ 中, $zf(z) \rightarrow K$ ($z \rightarrow \infty$), 则有

$$\lim_{R \rightarrow \infty} \int_{C_R} f(z) dz = iK(\theta_2 - \theta_1). \quad (2.5)$$

注: 大、小圆弧引理中 $K=0$ 或 $k=0$ 非常常用。也有一些不满足一致收敛的情况使复变积分收敛于 0

2.4 例题部分

例 4 已知解析函数 $f(z)$ 的实部: $u(x, y)$ 或虚部 $v(x, y)$, 求该解析函数: $u(x, y) = \cos x \cosh y$

解: 首先计算偏导数 $\partial_x u = -\cosh x \sin x$ 与 $\partial_y u = \cos x \sinh x$ 。

利用柯西-黎曼条件得到, $\partial_x v = -\partial_y u = -\cos x \sinh x$ 与 $\partial_y v = \partial_x u = -\cosh y \sin x$ 。

利用 v 的偏导数求原函数, $dv = \partial_x v dx + \partial_y v dy$ 。

这里有三种积分方法: 一、凑全微分法, $dv = \partial_x v dx + \partial_y v dy = -\cos x \sinh x + -\cosh y \sin x = -d(\sin x) \sinh x + -d(\sinh y) \sin x = d(-\sin x \sinh x)$ 。

二、积分因子法, 首先计算 $f(x, y) = \int \partial_x v dx + C(y)$, 然后通过另一个偏导数确定 $C(y)$

$$\frac{d}{dy} \left(\int \partial_x v dx + C(y) \right) = \partial_y v,$$

三、路径无关积分法, 可以选择路径计算 $\int_{(x_0, y_0)}^{(x, y)} \partial_x v dx + \int_{(x, y)}^{(x_0, y_0)} \partial_y v dy$ 。注意选择的路径需要结果, $v = -\sin x \sinh y + c$ 。 $f(z) = \cos x \cosh y + i \sin x \sinh y + ic = \sin z + ic$ 。

易错点: 切勿将偏导数代入 $dv = \partial_x v dx + \partial_y v dy$ 直接积分。

例 5 计算积分 $\oint_{|z|=R} \ln z dz$ 割线为正实轴, 在割线上岸, $\ln 1 = 0$

解: 因 $\ln z$ 是一个多值函数, $\ln z = \ln |z| + i(\theta + 2n\pi)$ 当 $z=1$ 时, 在割线上岸 $i(\theta + 2n\pi)|_{\theta=0} = 0$, 因此 $n=0$ 因此我们可以按照 (1) 中将其写为 $dz = iRe^{i\theta} d\theta$, 且 $\ln z = \ln R + i\theta$

$$\oint_{|z|=R} \ln z dz = \int_0^{2\pi} (\ln R + i\theta) iRe^{i\theta} d\theta = 2\pi i R$$

例 6 计算 $\oint_{|z|=b} \frac{\cos z}{(z-a)^2} |dz|$, 分别考虑 $b > a$ 和 $b < a$ 的情况。

解: 题 2 中的 (1) 可知: $|dz| = \frac{Rdz}{iz}$ 因此原式可以变为: $\oint_{|z|=b} \frac{R \cos z}{iz(z-a)^2} dz$

首先考虑 $b < a$ 的情况, 此时仅有 $z=0$ 一个支点

$$\oint_{|z|=b} \frac{R \cos z}{iz(z-a)^2} dz = \frac{b}{i} \oint_{|z|=b} \frac{\cos z}{z(z-a)^2} dz = \frac{b}{i} \oint_{|z|=b} \frac{f(z)}{z} dz = \frac{b}{i} 2\pi i f(z) \Big|_{z=0} = \frac{2b\pi}{a^2}$$

其中 $f(z) = \frac{\cos z}{(z-a)^2}$

当 $b > a$ 时, 此时有 $z=0$ 和 $z=a$ 两个奇点, 我们可以围绕两个奇点作两个小圆, 分别记

为 C_1, C_2 , 此时 $\oint_{|z|=b} = \oint_C + \oint_{C_1} + \oint_{C_2}$ 其中函数在 C 中处处解析, 因此由 Cauchy 定理可知 $\oint_C = 0$, 此时 $\oint_{|z|=b} = \oint_{C_1} + \oint_{C_2}$, 也可以使用留数定理。

$$\begin{aligned} \oint_{|z|=b} \frac{R \cos z}{iz(z-a)^2} dz &= \frac{b}{i} \left(\oint_{C_1} \frac{f_1(z)}{z} dz + \oint_{C_2} \frac{f_2(z)}{(z-a)^2} dz \right) \\ &= \left(\frac{2\pi i}{a^2} + \left(\frac{\cos z}{z} \right)' \Big|_{z=a} 2\pi i \right) \frac{b}{i} \\ &= \frac{2\pi b(1 - a \sin a - \cos a)}{a^2} \end{aligned}$$

其中 $f_1(z) = \frac{\cos z}{(z-a)^2}$, $f_2(z) = \frac{\cos z}{z}$

例 7 计算 $\oint_C \frac{dz}{z^3(z^{10}-2)}$, 其中 C 为 (1) $|z|=1$, (2) $|z|=2$ 。

解: (1) $|z|=1$ 时仅有 $z=0$ 一个 3 阶奇点, 令 $f(z) = \frac{1}{z^{10}-2}$

$$\oint_C \frac{dz}{z^3(z^{10}-2)} = \frac{2\pi i}{2!} f''(z) \Big|_{z=0} = 0$$

(2) $|z|=2$ 时, 函数共有 11 个奇点, 不容易分析, 因此我们作变换: $z = \frac{1}{t}$

$$\oint_C \frac{dz}{z^3(z^{10}-2)} = - \oint_{|t|=\frac{1}{2}} \frac{t^{11}}{2t^{10}-1} dt$$

此时有 $t^{10} = \frac{1}{2}$, 因此这些奇点均在 $|t| = \frac{1}{2}$ 的圆外, 因此函数在圆内解析

$$\oint_{|t|=\frac{1}{2}} \frac{t^{11}}{2t^{10}-1} dt = 0$$

或者使用大圆弧定理进行判断: 因为 $\lim_{z \rightarrow \infty} \frac{dz}{z^3(z^{10}-2)} = 0$, 而且在 $|z| > 2$ 上没有奇点

$$\oint_{C:|z|=2} \frac{dz}{z^3(z^{10}-2)} = \oint_{C:|z| \rightarrow \infty} \frac{dz}{z^3(z^{10}-2)} = 0$$

第 3 章 解析函数的局域展开

3.1 级数知识复习

- 复数项级数定义, 收敛的判定方法
- 绝对收敛、一致收敛、收敛的性质

- 幂级数：收敛半径，求 R 的方法，收敛区域；

3.2 Taylor 展开

函数 $f(z)$ 在以 a 为圆心的圆 C 内解析，则对 $\forall z \in C$ ，都可以展开为

$$f(z) = \sum_{n=0}^{\infty} c_n (z-a)^n, \quad |z-a| < R \quad (3.1)$$

系数的求法：

- Cauchy 积分公式： $c_n = \frac{f^{(n)}(a)}{n!} = \frac{1}{2\pi i} \oint_{L^+} \frac{f(z)}{(z-a)^{n+1}} dz$
其中 L^+ 为 C 内任一逆时针绕 a 一周的路径。
- 使用常用级数的线性组合、级数乘法、导数、积分、“待定系数法”（仅适用于有限个负幂项或正幂项的情况）。

3.3 Laurent 展开

函数 $f(z)$ 在以 b 为圆心的环形区域 $C: R_1 < |z-b| < R_2$ 中单值解析，则对 $\forall z \in C$ ，都可展开为：

$$f(z) = \sum_{n=-\infty}^{\infty} c_n (z-b)^n, \quad R_1 < |z-b| < R_2, \quad (3.2)$$

其中： $c_n = \frac{1}{2\pi i} \oint_{L^+} \frac{f(z)}{(z-b)^{n+1}} dz$ L^+ 为 C 内任一逆时针绕 a 一周的路径。

以上两种展开方式均具有唯一性。

常用技巧： $|z| > 1$ 时的几何级数展开：

$$\begin{aligned} \frac{1}{1-z} &= \frac{\frac{1}{z}}{\frac{1}{z}-1} \\ &= -\frac{1}{z} \cdot \frac{1}{1-\frac{1}{z}} \\ &= -\frac{1}{z} \cdot \sum_{k=0}^{\infty} \left(\frac{1}{z}\right)^k \\ &= \sum_{k=-\infty}^{-1} (-1)z^k \quad |z| > 1 \end{aligned} \quad (3.3)$$

第4章 留数定理

围绕解析函数 $f(z)$ 的孤立的 \forall 奇点 b_K 作简单闭合曲线 γ_k ，则 $f(z)$ 在 b 点的留数定义为：

$$\text{Res}f(b_k) \equiv \frac{1}{2\pi i} \oint_{\gamma_k^+} f(z) dz = c_{-1} \quad (4.1)$$

即 Laurent 展开的 -1 次项系数。

例 8 将下列函数在指定点展开为泰勒级数, 并给出收敛半径

(1) $\sin z$ 在 $z = n\pi$, (2) $\frac{1}{1+z+z^2}$ 在 $z = 0$, (3) $\frac{1}{z^2}$ 在 $z = -1$, (4) $\ln \frac{1+z}{1-z}$ 在 $z \rightarrow \infty$ 。

解: (1) 一般展开: $\sum_{k=0}^{\infty} \frac{\sin^{(k)}(n\pi)}{k!} (z - n\pi)^k$ 。当 n 为偶数时, $\sin(z) = \sum_{m=0}^{\infty} \frac{(-1)^m}{(2m+1)!} (z - n\pi)^{2m+1}$;
当 n 为奇数时, $\sin(z) = \sum_{m=0}^{\infty} \frac{(-1)^{m+1}}{(2m+1)!} (z - n\pi)^{2m+1}$ 。收敛半径, 全复平面

(2) $\sum_{n=0}^{\infty} \frac{\sin 2(n+1)\pi/3}{\sin 2\pi/3} z^n, |z| < 1$

(3) 设 $t = z + 1, \sum_{n=0}^{\infty} (n+1)(z+1)^n$, 收敛半径 $z = 1$

(4) $-i\pi + 2 \sum_{n=1}^{\infty} \frac{z^{1-2n}}{2n-1}$, 收敛半径 $z = 1$

例 9 将下列函数在指定区域展开为洛朗级数 (20 分)

(1) $\frac{1}{z^2-3z+2}$ 在 $1 < |z| < 2$, (2) $\frac{1}{z^2-3z+2}$ 在 $2 < |z| < \infty$, (3) $\frac{1}{z^2(z-1)}$ 在 $z = 1$ 附近, (4) $z^3 e^{\frac{1}{z}}$ 在 $z = 0$ 附近。

解: (1) $\frac{1}{z^2-3z+2} = \frac{1}{1-z} - \frac{1}{2-z} = -\sum_{n=1}^{\infty} z^n - \sum_{n=0}^{\infty} \frac{z^n}{2^{n+1}}$

(2) $\frac{1}{z^2-3z+2} = \sum_{n=-1}^{\infty} \left(\frac{1}{2^{n+1}} - 1 \right) z^n$

(3) $\sum_{n=0}^{\infty} (-1)^n (n+1)(z-1)^{n-1}$

(4) $z^3 e^{\frac{1}{z}} = \frac{e^t}{t^3} = \frac{1}{t^3} \sum_{n=0}^{\infty} \frac{t^n}{n!} = \sum_{n=0}^{\infty} \frac{z^{3-n}}{n!}$

4.1 留数定理

若分段光滑简单闭合曲线 L 包围的区域中, 除孤立奇点 b_1, \dots, b_n 外 $f(z)$ 单值解析, 那么:

$$\operatorname{Res} f(b_k) \equiv \frac{1}{2\pi i} \oint_{\gamma_k^+} f(z) dz = c_{-1} \quad (4.2)$$

注意: 无穷远点应该做代换: $t = \frac{1}{z} \rightarrow 0$

4.2 留数的求法**4.2.1 直接展开法**

适用于较简单的分式、基本函数的线性组合等。可能需要对含无穷项的展开式使用几何级数展开等。

例 10 求 $\frac{1}{\sin z}$ 在 $z = 0$ 处的留数

$$\begin{aligned} \frac{1}{\sin z} &= \frac{1}{z - \frac{z^3}{3!} + o(z^4)} = \frac{1}{z} \frac{1}{1 - \left(\frac{z^2}{3!} + o(z^3)\right)} \\ &= \frac{1}{z} \left(1 + \left(\frac{z^2}{3! + o(z^3)} \right) + \left(\frac{z^2}{3! + o(z^3)} \right) + \dots \right) \\ &= \frac{1}{z} + \frac{z}{3} + o(z^2) \end{aligned} \quad (4.3)$$

4.2.2 待定系数法

由于有“有限负幂项或有限正幂项”的限制, 一般用来求有限阶极点的留数。

例 11 求 $\frac{e^z}{\sin^2 z}$ 在 $z=0$ 点的留数

解：已知：

$$\sin^2 z = z^2 - \frac{1}{3}z^4 + o(z^5), e^z = 1 + z + o(z), \quad (4.4)$$

初步判断 $z=0$ 为 k 阶极点，设

$$\frac{e^z}{\sin^2 z} = c_{-2}\frac{1}{z^2} + c_{-1}\frac{1}{z} + c_0 + c_1z + o(z) \quad (4.5)$$

则有：

$$\left(c_{-2}\frac{1}{z^2} + c_{-1}\frac{1}{z} + c_0 + c_1z + o(z)\right) \left(z^2 - \frac{1}{3}z^4 + o(z^5)\right) = 1 + z + o(z) \quad (4.6)$$

对比 z 项系数，得到 $c_{-1} = 1$

4.2.3 画小圈圈法

作 $f(z)$ 的某单值解析域 G 内的简单闭合曲线 γ ，使 γ 只围绕奇点 b ，则

$$\operatorname{Res} f(b) = \frac{1}{2\pi i} \oint_{\gamma^+} f(z) dz \quad (4.7)$$

4.2.4 大圆量级法

若 $f(z) = \frac{P(z)}{Q(z)}$ 且 $P(z)$ 与 $Q(z)$ 展开后的最高次项分别为 $a_{n-1}z^{n-1}$ 与 $b_n z^n$ ，且展开式在全复平面（或给定大小的圆之外）收敛，则 $f(z)$ 在所有孤立奇点的留数之和为：

$$\sum \operatorname{Res} z_k = \frac{a_{n-1}}{b_n} \quad (4.8)$$

求除无穷原点外的所有奇点的留数和亦可使用“留数和定理”

4.2.5 升幂极限法

若 $z=b$ 是 $f(z)$ 的 m 阶极点，即 $f(z) = \sum_{k=-m}^{\infty} c_k(z-b)^k$.

- when $m=1$:

$$\operatorname{Res} f(b) = \lim_{z \rightarrow b} (z-b)f(z) \quad (4.9)$$

- when $m > 1$: $(z-b)^m f(z) = \sum_{k=-m}^{\infty} c_k(z-b)^{k-m}$ 只有正项级数和常数项，对其求 $m-1$ 次导数 $k=-m$ 后，常数项变为 $c_{-1}(m-1)!$.

4.2.6 洛必达法

若 $z=b$ 是 $f(z)$ 的一阶极点，且可以表达为 $f(z) = \frac{P(z)}{Q(z)}$ 则：

$$\operatorname{Res} f(b) = \frac{P(b)}{Q'(b)} \quad (4.10)$$

例 12 求 $\frac{1}{(e^z-1)^2}$ 在 $z=0$ 点的留数

解：初步判断 $z=0$ 为 k 阶极点

$$z^2 f(z) = \frac{z^2}{(e^z-1)^2} = c_{-2} + z c_{-1} + z^2 c_0 + \cdots \quad (4.11)$$

$$\begin{aligned} (z^2 f(z))' &= \frac{2z(e^z-1)^2 - z^2(e^z-1) \cdot 2e^z}{(e^z-1)^4} \\ &= \frac{2z}{(e^z-1)^3} (e^z-1-ze^z) \\ &= c_{-1} + 2z c_0 + 3z^2 c_1 + \cdots \end{aligned} \quad (4.12)$$

then:

$$\begin{aligned} \lim_{z \rightarrow 0} (z^2 f(z))' &= 2 \cdot \frac{e^z-1-ze^z}{(e^z-1)^2} \\ &= 2 \cdot \frac{z + \frac{1}{2}z^2 + o(z^2) - z - z^2 + o(z^2)}{(z+o(z))^2} \\ &= 2 \cdot \frac{-\frac{1}{2}z^2 + o(z^2)}{z^2 + o(z^2)} \\ &= -1 \end{aligned} \quad (4.13)$$

例 13 求下列函数在 z_0 处的留数 $\frac{f''(z)}{f(z)}$, z_0 为 $f(z)$ 的 n 阶零点, n 为正整数

解： $f(z) = (z-z_0)^n g(z)$, 继而写出 f' 和 f''

求 a_{-1} :

$$\begin{aligned} \frac{f''}{f} &= \frac{1}{(z-z_0)^2} \left[n(n-1) + 2n(z-z_0) \frac{g'}{g} + \frac{g''}{g} \right] \\ \text{res}(z_0) = a_{-1} &= 2n \frac{g'}{g} \Big|_{z=z_0} \end{aligned}$$

求 $\frac{g'}{g} \Big|_{z=z_0}$:

$$\begin{aligned} f(z) &= \sum_{m=n}^{\infty} \frac{f^{(m)}(0)}{m!} (z-z_0)^m \\ &= (z-z_0)^n \sum_{m=0}^{\infty} \frac{f^{(m+n)}(z_0)}{(m+n)!} (z-z_0)^m \\ g(z) &= \sum_{m=0}^{\infty} \frac{f^{(m+n)}(z_0)}{(m+n)!} (z-z_0)^m \\ g(z_0) &= \frac{f^{(n)}(z_0)}{n!} \quad g'(z_0) = \frac{f^{(n+1)}(z_0)}{(n+1)!} \\ \frac{g'}{g} \Big|_{z=z_0} &= \frac{1}{n+1} \frac{f^{(n+1)}(z_0)}{f^{(n)}(z_0)} \end{aligned}$$

得到结果: $\frac{2n}{n+1} \frac{f^{(n+1)}(z_0)}{f^{(n)}(z_0)}$ 。

第5章 数理方程预备知识

5.1 Einstein 求和约定

Einstein 求和约定其实就是一个偷懒符号，不过在一些比较复杂的计算中会有用的。一般地，对于对象 a_1, \dots, a_n 的和 S ，我们会写成 $S = \sum_{i=1}^n a_i$ 或者 $S = \sum_i a_i$ ；而 Einstein 求和约定的写法则直接把它简化为 $S = a_i$ 。这样写的目的是突出一项，让我们能够更快地找出和式中一些相类似的部分；以及省空间。我们再举几个例子，左边是通常写法，右边是 Einstein 求和约定：

$$c = \sum_i a_i b_i \rightarrow c = a_i b_i$$

$$c = \sum_i \sum_j \sum_k a_i b_j c_k \rightarrow c = a_i b_j c_k$$

$$c_i = a_i \sum_j \sum_k b_j c_k \rightarrow c_i = a_i b_j c_k$$

$$df = \sum_i \frac{\partial f}{\partial x_i} dx_i \rightarrow df = \frac{\partial f}{\partial x_i} dx_i$$

$$\nabla \cdot \mathbf{v} = \sum_i \frac{\partial v_i}{\partial x_i} \rightarrow \nabla \cdot \mathbf{v} = \frac{\partial v_i}{\partial x_i}$$

第二个与第三个之间其实并没有歧义，因为第二个的等式左边表明了与下标有关。这时候不再是哑指标而是自由指标。当然，如果有时候真的需要区分，可以在不求和的指标上做标记。

5.2 Kronecker 符号与 Levi-Civita 符号

这两个符号会用于许多向量，矩阵和高阶张量的运算。首先是 Kronecker 符号：

$$\delta_{ij} = \begin{cases} 1, i = j \\ 0, i \neq j \end{cases}.$$

显然这个符号是对称的，即 $\delta_{ij} = \delta_{ji}$ 。在这个标注下就有 $a_j = a_i \delta_{ij}$ 。在线性代数中有 Laplace 展开公式，可以记为 $\delta_{ki} \det(\mathbf{A}) = a_{kj} A_{ij}$ 。（注意右边是 Einstein 求和约定）然后是 Levi-Civita 符号：

$$\varepsilon_{ijk} = \begin{cases} 1, (i, j, k) \text{ 是偶排列} \\ -1, (i, j, k) \text{ 是奇排列} \\ 0, \text{ else} \end{cases}$$

这个符号是轮换且反对称的，也就是说 $\varepsilon_{ijk} = \varepsilon_{jki} = \varepsilon_{kij}, \varepsilon_{ijk} = -\varepsilon_{jik}$ 。容易验证下面的恒等式：

$$\varepsilon_{ijk} \varepsilon_{lmk} = \delta_{il} \delta_{jm} - \delta_{im} \delta_{jl}$$

作为应用例子，矩阵 $A = (a_{ij})_{3 \times 3}$ 的行列式为 $\det(\mathbf{A}) = \varepsilon_{ijk} a_{i1} a_{j2} a_{k3}$ 。你会发现这个符号其实就是一个特殊版本：对一般方阵，行列式定义为 $\det(\mathbf{A}) = \sum_{\pi} (-1)^{\tau(\pi)} \prod_{i=1}^n a_{i\pi(i)}$ ， $\tau(\pi)$ 是排列的逆序数。Levi-Civita 符号就是 $(-1)^{\tau(\pi)}$ 在 $n = 3$ 时的情形。

5.3 向量代数

这里现在讨论的是三维向量。其运算现在有点乘和叉乘两种，可以记为： $\mathbf{a} \cdot \mathbf{b} = a_i b_i$ $\mathbf{a} \times \mathbf{b} = \varepsilon_{ijk} a_i b_j \mathbf{e}_k$ 第二个式子是因为，容易验证 $\mathbf{e}_i \times \mathbf{e}_j = \varepsilon_{ijk} \mathbf{e}_k$ ，从而 $\mathbf{a} \times \mathbf{b} = a_i \mathbf{e}_i \times b_j \mathbf{e}_j = \varepsilon_{ijk} a_i b_j \mathbf{e}_k$ 。也可以运用表示

$$\mathbf{a} \times \mathbf{b} = \begin{vmatrix} \mathbf{e}_1 & \mathbf{e}_2 & \mathbf{e}_3 \\ a_1 & a_2 & a_3 \\ b_1 & b_2 & b_3 \end{vmatrix}$$

和上面行列式的表示来理解。另外，作为第一个的特例， $\mathbf{e}_i \cdot \mathbf{e}_j = \delta_{ij}$ 。接下来我们来推导一些向量计算恒等式，这些式子看起来也许比较难记，但是用 Einstein 求和约定我们先计算向量的混合积：

$$\mathbf{a} \cdot (\mathbf{b} \times \mathbf{c}) = a_i \mathbf{e}_i \cdot \varepsilon_{jkl} b_j c_k \mathbf{e}_l = \delta_{il} \varepsilon_{jkl} a_i b_j c_k = \varepsilon_{ijk} a_i b_j c_k$$

最后一个等号先对 l 求了和。这是一个轮换式！所以我们得到

$$\mathbf{a} \cdot (\mathbf{b} \times \mathbf{c}) = \mathbf{b} \cdot (\mathbf{c} \times \mathbf{a}) = \mathbf{c} \cdot (\mathbf{a} \times \mathbf{b})$$

这个混合积由于具有对称性也记为 $[abc]$ 。(不要与后面出现的 Poisson 括号混淆) 下面我们来证明关于三重叉积的恒等式：

$$\begin{aligned} \mathbf{a} \times (\mathbf{b} \times \mathbf{c}) &= a_i \mathbf{e}_i \times \varepsilon_{jkl} b_j c_k \mathbf{e}_l \\ &= -\varepsilon_{iml} \varepsilon_{jkl} a_i b_j c_k \mathbf{e}_m \\ &= (\delta_{ik} \delta_{mj} - \delta_{ij} \delta_{mk}) a_i b_j c_k \mathbf{e}_m \\ &= a_k c_k b_j \mathbf{e}_j - a_j b_j c_k \mathbf{e}_k \\ &= \mathbf{b}(\mathbf{a} \cdot \mathbf{c}) - \mathbf{c}(\mathbf{a} \cdot \mathbf{b}) \end{aligned}$$

到数第二个等号的原因是 $a_k c_k = \delta_{ik} a_i c_k$, $b_j \mathbf{e}_j = \delta_{mj} b_j \mathbf{e}_m$ ，另一个式子类推 (注意下标对应上)。

下次不记得恒等式的话，可以这样推导，比较快。最后说一下矩阵怎么表示。线性代数里都学过基本矩阵 E_{ij} ，所以一个矩阵一般也就表示为 $A = a_{ij} \mathbf{E}_{ij}$ 。不过如果矩阵 $C = \mathbf{a} \mathbf{b}^T$ (列向量)，怎么表示？我们可以计算出 $\mathbf{e}_i \mathbf{e}_j^T = E_{ij}$ ，从而

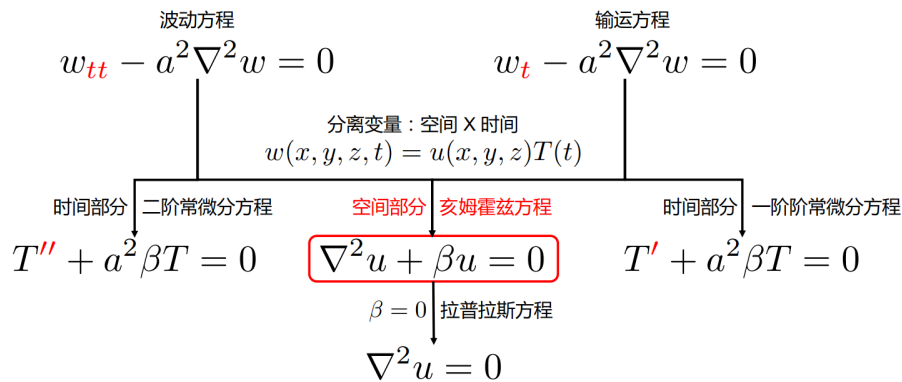
$$C = a_i b_j \mathbf{e}_i \mathbf{e}_j^T = a_i b_j \mathbf{E}_{ij}$$

有时候我们把这个乘积中的转置去掉当成一种新运算，上面也可以直接写成

$$A = a_{ij} \mathbf{e}_i \mathbf{e}_j$$

$$C = \mathbf{a} \mathbf{b} = a_i b_j \mathbf{e}_i \mathbf{e}_j。$$

第6章 数理方程（解题导向）



6.1 方程分类

波动方程

$$\frac{\partial^2 u}{\partial t^2} = a^2 \Delta u + f(x, t) \quad (6.1)$$

热传导方程

$$\frac{\partial u}{\partial t} = a^2 \Delta u + f(x, t) \quad (6.2)$$

拉普拉斯方程

$$\frac{\partial^2 u}{\partial x^2} + \frac{\partial^2 u}{\partial y^2} = 0 \quad (6.3)$$

一般就考察以上三种，

6.2 方法论

- 分离变量法（三类方程均适用）
- 本征函数法（只讲了在分离变量法中处理非齐次方程）
- 行波法（只要会用它来解一维无界域波动方程）
- 积分变换法（三类方程均适用，但只要会傅里叶变换的解法，而且貌似只能解无界域上的方程）
- 格林函数法（解拉普拉斯方程，只考电像法，狄利克雷问题）
- 贝塞尔函数（好像只考递推关系？）

6.3 解题思路

首先判断类型：

波动方程：

- 一维无界域方程：行波法应该可以直接做
- 有界齐次方程：分离变量法直接求
- 有界非齐次方程：分离变量法，设 $u(x, t) = v(x, t) + w(x, t)$ ，其中 v 表示仅由 $f(x, t)$ 引起的部分， w 表示仅由初始状态引起的部分。 v 用本征函数法处理， w 直接求

- 有界方程、非齐次边界条件：分离变量法。

1. 极坐标变换，化为齐次边界条件；

2 作代换，化为齐次边界条件，令 $u(x, t) = v(x, t) + w(x, t)$ ，使得

$$v|_{x=0} = v|_{x=l} = 0, w|_{x=0} = u_1(t), w|_{x=l} = u_2(t)$$

选取简单的 w ，再解出 v 即可。若自由项 (如果有的话) 和边界条件均与 t 无关，可通过一次代换将方程和边界条件同时化为齐次的

- 无界方程：积分变换法

波动方程：类似上文，不过没有一维无界领域；

特别注意自然边界条件：比如无穷远处取有限值 (可能导致某些参数为 0)

Laplace 方程：

- 圆域上的拉普拉斯方程：分离变量法，注意要不要补充自然周期条件 ($u(r, \theta) = u(r, \theta + 2\pi)$) 和自然边界条件 ($|u(0, \theta)| < +\infty$)
- 特殊区域：其实题目会指定你用格林函数法

6.4 方法简介

首先应该注意对称性，得到问题是关于哪几个变量的函数，有一些具有周期性或者无关的变量 (如角度) 就应该省去，我们主要关心的还是径向方程。

分离变量法：

形式为：(省略了求和，其实是系数与模的乘积再求和)

$$u(x, t) = X(x)T(t)$$

- 将解写成分离变量形式，选定合适变量，求解固有值问题得到固有值和固有函数系
- 求解其他常微分方程得到形式解，即把解在定解条件上展开
- 把定解条件代入形式解中确定形式解的系数，即把定解条件在固有函数系上展

本征函数法：属于高数和线代学习过的内容，这里不再赘述；一般遇到二次方程用到。

行波法：

对于方程

$$A \frac{\partial^2 u}{\partial x^2} + 2B \frac{\partial^2 u}{\partial x \partial y} + C \frac{\partial^2 u}{\partial y^2} + D \frac{\partial u}{\partial x} + E \frac{\partial u}{\partial y} + Fu = 0$$

其特征方程为

$$A(dy)^2 - 2Bdx dy + C(dx)^2 = 0 (\text{注意 } x, y \text{ 的位置, 以及减号})$$

设由特征方程解得积分曲线为 $a_1x + b_1y = C_1, a_2x + b_2y = C_2$, 令 $\xi = a_1x + b_1y, \eta = a_2x + b_2y$

若 $C = D = E = F = 0$, 可化为

$$\frac{\partial^2 u}{\partial \xi \partial \eta} = 0$$

积分变换法：

方程两端同时对 x 取傅里叶变换，代入并利用性质求解

$$\mathcal{F}[f^{(n)}(t)] = (iw)^n \mathcal{F}[f(t)] (\text{微分性})$$

$$\mathcal{F}[f(t+t_0)] = e^{i\omega t_0} \mathcal{F}[f(t)] \quad (\text{位移性})$$

$$\mathcal{F}[f(at)] = \frac{1}{|a|} \mathcal{F}\left(\frac{\omega}{a}\right) (\text{相似性})$$

$$\mathcal{F}[f_1(t) * f_2(t)] = F_1(\omega) \cdot F_2(\omega) (\text{卷积定理})$$

格林函数法/电像法:

1. 摆出:

$$\begin{cases} \Delta G(M, M_0) = \delta(M - M_0), M \in \Omega \\ G(M, M_0)|_S = 0 \end{cases}$$

2. 确定区域 Ω 和边界 S , 写出来

3. 画图, 找像点, 可能有多组如果 S 为平面或直线, 则为几何对称点; 如果 S 为球面或圆弧线, 则为反演点;

4. 确定格林函数 G :

三维空间:

$$G(M, M_0) = \frac{1}{4\pi r_{M_0 M}} + \frac{C}{4\pi r_{M_1 M}}$$

二维空间:

$$G(M, M_0) = \frac{1}{2\pi} \ln \frac{1}{r_{M_0 M}} + \text{sgn}(C) \frac{1}{2\pi} \ln \frac{|C|}{r_{M_1 M}}$$

($\text{sgn}(x)$ 是取符号的函数)

5. 求 $\frac{\partial G}{\partial \vec{n}_0}$ (不用很具体)

6. 把积分表达式写出来, 写积分区间

$$u(M) = - \iint_S f(M_0) \frac{\partial G}{\partial \vec{n}_0} |_S dS$$

$$u(M) = - \int_C f(M_0) \frac{\partial G}{\partial \vec{n}_0} |_l dl$$

贝塞尔方程:

$$x^2 \frac{d^2 y}{dx^2} + x \frac{dy}{dx} + (x^2 - n^2)y = 0 \quad (6.4)$$

$$J_n(x) = \sum_{m=0}^{\infty} (-1)^m \frac{x^{n+2m}}{2^{n+2m} m! \Gamma(n+m+1)}$$

$$Y_n(x) = \lim_{a \rightarrow n} \frac{J_a(x) \cos a\pi - J_{-a}(x)}{\sin a\pi}$$

n 不为整数时, $y = AJ_n(x) + BJ_{-n}(x)$ 为 (6.4) 解

不管 n 是不是整数, $y = AJ_n(x) + BY_n(x)$ 是 (6.4) 解

递推关系:

$$J'_0(x) = -J_1(x)$$

$$\frac{d}{dx}[x^n J_n(x)] = x^n J_{n-1}(x)$$

$$\frac{d}{dx}[x^{-n} J_n(x)] = -x^{-n} J_{n+1}(x)$$

轴对称性问题的通解:

$$u(r, \theta) = \sum_{l=0}^{\infty} (A_l r^l + B_l r^{-l-1}) P_l(\cos \theta)$$

6.5 典型例题

6.5.1 弦振动 + 冲量原理 + 行波法

对于密度为 ρ 的无限长弦, 初始时刻静止, $t = 0$ 时在 $x = x_0$ 点受到冲量为 I 的冲击。请利用行波法求解弦的振动

答案: 波动方程:

$$\frac{\partial^2 u}{\partial t^2} = c^2 \frac{\partial^2 u}{\partial x^2}$$

c 是波速、 T 张力、密度 ρ , $c = \sqrt{T/\rho}$ 。初始条件:

$$u(x, 0) = 0 \quad \text{和} \quad \frac{\partial u}{\partial t}(x, 0) = 0,$$

$(x, 0) = 0$ 对于所有 $x \neq x_0$ 在 $x = x_0$ 点受到的冲击表示为一个初始速度条件:

$$\frac{\partial u}{\partial t}(x, 0) = \frac{I}{\rho} \delta(x - x_0)$$

其中 $\delta(x - x_0)$ 是狄拉克函数, 表示在 $x = x_0$ 点有一个集中的冲量。行波法解:

$$u(x, t) = f(x - ct) + g(x + ct)$$

由于初始条件 $u(x, 0) = 0$, 我们有:

$$f(x) + g(x) = 0 \Rightarrow g(x) = -f(x)$$

因此,

$$u(x, t) = f(x - ct) - f(x + ct)$$

接下来, 我们需要考虑冲击条件。冲击导致的初始速度分布为:

$$\frac{\partial u}{\partial t}(x, 0) = \frac{I}{\rho} \delta(x - x_0)$$

这意味着:

$$-cf'(x - ct) - cf'(x + ct) = \frac{I}{\rho} \delta(x - x_0) \quad \text{在 } t = 0$$

积分上式关于 x , 得到:

$$-2cf(x) = \frac{I}{\rho} H(x - x_0) + C$$

其中 $H(x - x_0)$ 是阶跃函数, C 是积分常数。由于 $f(x)$ 在 $x = x_0$ 之外必须是平滑的, 我们可以得出 $C = 0$ 。因此, 我们有:

$$f(x) = -\frac{I}{2c\rho} H(x - x_0)$$

所以, 弦的位移表达式为:

$$u(x, t) = -\frac{I}{2c\rho} [H(x - ct - x_0) - H(x + ct - x_0)]$$

6.5.2 球坐标系下 Laplace Eq

半径为 R 的球壳上, 电势分布为 $-\sin^2\theta\cos^2\phi + 1/3$, 球壳的内外区域均无电荷, 请分别给出球壳内部区域和外部区域的电势分布。

定解问题为: $\frac{1}{r^2}\partial_r(r^2\partial_ru) + \frac{1}{r^2\sin\theta}\partial_\theta(\sin\theta\partial_\theta u) + \frac{1}{r^2\sin^2\theta}\partial_\phi^2 u = 0$

边界条件为: $u(R, \theta, \phi) = -\sin^2\theta\cos^2\phi + \frac{1}{3}$, $u(r, 0, \phi)$, $u(r, \pi, \phi)$ 有界。

$$u(r, \theta, 0) = u(r, \theta, 2\pi), \quad \partial_\phi u(r, \theta, 0) = \partial_\phi u(r, \theta, 2\pi)$$

对于球内区域, 应有 $u(0, \theta, \phi)$ 有界; 对于球外区域, 应有 $\lim_{r \rightarrow \infty} u(r, \theta, \phi) = 0$ 。

分离变量, 设 $u(r, \theta, \phi) = R(r)S(\theta, \phi)$, 则有

$$\frac{r^2 R''(r) + 2r R'(r)}{R(r)} = -\frac{\sin^2\theta \partial_\theta^2 S(\theta, \phi) + \cos\theta \sin\theta \partial_\theta S(\theta, \phi) + \partial_\phi^2 S(\theta, \phi)}{\sin^2\theta S(\theta, \phi)} = \lambda$$

$$\text{可得方程为: } R''(r) + \frac{2}{r}R'(r) - \frac{\lambda}{r^2}R(r) = 0$$

$$\frac{1}{\sin\theta}\partial_\theta(\sin\theta\partial_\theta S(\theta, \phi)) + \frac{1}{\sin^2\theta}\partial_\phi^2 S(\theta, \phi) + \lambda S(\theta, \phi) = 0$$

根据有界和周期性条件, 可得本征值为: $\lambda_l = l(l+1)$, $l \in \mathbb{N}$ 。对应的本征函数为 lm 阶球谐函数:

$$S_{lm}(\theta, \phi) = P_l^m(\cos\theta) \cos m\phi, \quad m = 0, 1, 2, \dots, l$$

代入径向方程, 可得 $R''(r) + \frac{2}{r}R'(r) - \frac{l(l+1)}{r^2}R(r) = 0$ 径向方程的通解为: $R_l(r) = A_l r^l + B_l \frac{1}{r^{l+1}}$ 。

该定解问题的一般解为:

$$u(r, \theta) = \sum_{l=0}^{\infty} \sum_{m=0}^l \left(A_l r^l + B_l \frac{1}{r^{l+1}} \right) P_l^m(\cos\theta) (C_{lm} \cos m\phi + D_{lm} \sin m\phi)$$

对于 $r = R$ 处的边界条件, 有:

$$\begin{aligned} -\sin^2\theta\cos^2\phi + \frac{1}{3} &= -\frac{1}{2}\sin^2\theta(\cos 2\phi + 1) + \frac{1}{3} \\ &= -\frac{1}{2}\sin^2\theta\cos 2\phi + \frac{1}{2}\left(\cos^2\theta - \frac{1}{3}\right) = -\frac{1}{6}P_2^2(\cos\theta)\cos 2\phi + \frac{1}{3}P_2(\cos\theta) \end{aligned}$$

(1) 对于球内, 由于 $r = 0$ 时 u 有界, 所以 $B_l = 0$, 且

$$\sum_{l=0}^{\infty} \sum_{m=0}^l R_l^l P_l^m(\cos\theta) (C_{lm} \cos m\phi + D_{lm} \sin m\phi) = -\frac{1}{6}P_2^2(\cos\theta)\cos 2\phi + \frac{1}{3}P_2(\cos\theta)$$

所以 $R^2 C_{22} = -\frac{1}{6}$, $R^2 C_{20} = \frac{1}{3}$

因此, 球内区域电势为: $u(r, \theta, \phi) = \frac{r^2}{R^2} \left(-\frac{1}{6}P_2^2(\cos\theta)\cos 2\phi + \frac{1}{3}P_2(\cos\theta) \right)$

(2) 对于球外, 由于 $r \rightarrow \infty$ 时 u , 所以 $A_l = 0$, 且

$$\sum_{l=0}^{\infty} \sum_{m=0}^l \frac{1}{R^{l+1}} P_l^m(\cos\theta) (C_{lm} \cos m\phi + D_{lm} \sin m\phi) = -\frac{1}{6}P_2^2(\cos\theta)\cos 2\phi + \frac{1}{3}P_2(\cos\theta)$$

所以 $\frac{C_{22}}{R^3} = -\frac{1}{6}$, $\frac{C_{20}}{R^3} = \frac{1}{3}$ 因此, 球内区域电势为: $u(r, \theta, \phi) = \frac{R^3}{r^3} \left(-\frac{1}{6}P_2^2(\cos\theta)\cos 2\phi + \frac{1}{3}P_2(\cos\theta) \right)$

6.5.3 柱坐标系下 Bessel Eq.

考虑一个半径为 a , 高为 h 的圆柱体。圆柱侧面的温度恒为 0, 上下底面绝热。初始时刻圆柱体整体温度为 u_0 , 请计算柱体内部温度分布随时间的变化。

参考解答: 问题为轴对称, 方程与解和 ϕ 无关。

定解问题为:

$$\partial_t u(r, z, t) - \kappa \left[\frac{1}{r} \partial_r (r \partial_r u(r, z, t)) + \partial_z^2 u(r, z, t) \right] = 0$$

边界条件为: $\partial_z u(r, 0, t) = \partial_z u(r, h, t) = 0, u(a, z, t) = 0, u(0, z, t)$ 有界。

初始条件为: $u(r, z, 0) = u_0$ 。同时应有 $u(r, z, \infty)$ 有界。

设 $u(r, z, t) = R(r)Z(z)T(t)$, 则有

$$\frac{T'(t)}{\kappa T(t)} = \frac{1}{rR(r)} \frac{d(rR'(r))}{dr} + \frac{Z''(z)}{Z(z)}$$

分离变量, 可得: $R'' + \frac{1}{r}R' + k^2R = 0, Z'' + m^2Z = 0, T' + \lambda\kappa T = 0$ 。其中 $\lambda = k^2 + m^2$, 并有: $R(a) = Z'(0) = Z'(h) = 0, R(0)$ 有界。

径向解为: $R(r) = J_0(k_i r)$, 其中 $k_i = \frac{\mu_i}{a}, \mu_i$ 为 $J_0(x)$ 的第 i 个非零的零点。

纵向解为: $Z(z) = A_n \sin m_n z + B_n \cos m_n z$,

带入边界条件, 可得: $m_n A_n = 0, m_n A_n \cos m_n h - m_n B_n \sin m_n h = 0$,

所以

$$A_n = 0, m_n h = n\pi, Z(z) = \cos \frac{n\pi}{h} z, n \in \mathbb{N}$$

因此 $\lambda_{in} = k_i^2 + m_n^2 = \frac{\mu_i^2}{a^2} + \frac{n^2\pi^2}{h^2}$, 且 $T_{in}(t) = e^{-\lambda_{in}\kappa t}$

故一般解为:

$$u(r, z, t) = \sum_{in} A_{in} J_0\left(\frac{\mu_i r}{a}\right) \cos \frac{n\pi z}{h} e^{-\lambda_{in}\kappa t}$$

代入初始条件, 可得: $u_0 = \sum_{in} A_{in} J_0\left(\frac{\mu_i r}{a}\right) \cos \frac{n\pi z}{h}$ 。

根据正交条件:

$$\int_0^a J_0(k_i r) J_0(k_j r) r dr = \frac{a^2}{2} J_1^2(k_i a) \delta_{ij}$$

以及

$$\int_0^h \cos \frac{n\pi z}{h} \cos \frac{m\pi z}{h} dz = \delta_{mn} \begin{cases} h, n = 0 \\ \frac{h}{2}, n \neq 0 \end{cases}$$

对左侧积分, 可得:

$$\int_0^a \int_0^h J_0(k_i r) \cos \frac{n\pi z}{h} r dr dz = h \delta_{n0} \frac{a}{k_i} J_1(k_i a) = \frac{h a^2}{\mu_i} J_1(\mu_i)$$

所以系数为: $A_{in} = \frac{2u_0}{\mu_i J_1(\mu_i)} \delta_{n0}$, 解为:

$$u(r, z, t) = \sum \frac{2u_0}{\mu_i J_1(\mu_i)} J_0\left(\frac{\mu_i r}{a}\right) e^{-\frac{\mu_i^2 \kappa}{a^2} t}$$

P.S. 主要参考课程 PPT+ 老师讲义 + 知乎笔记; 若有疏漏请忽略, 联系作者 2540181946@qq.com

另: 友情链接大佬笔记: [Click here to hair loss](#)